

Gdańsk, dn. 2026-05-21

T-Mobile Polska S.A.
ul. Marynarska 12
02-674 Warszawa

Pełnomocnik:
Pełnomocnictwo numer: 162/01/21
z dnia: 2021-01-13

dane do korespondencji:

NetWorks Sp. z o.o.

ul. Abpa Baraniaka 6
61-131 Poznań
tel. 538897717
AE:PL-75331-40483-VAGTH-20

Starosta Powiatu Olsztyńskiego
Starostwo Powiatowe w Olsztynie
Plac Bema 5
10-516 Olsztyn
AE:PL-73458-32173-CRBET-17

Dotyczy: ustawowego obowiązku, wynikającego z art. 152 ust. 1 i ust. 7 w związku z ust. 6 pkt 1c ustawy z dnia 27 kwietnia 2001r – Prawo ochrony środowiska (Dz.U. 2024 poz. 54).

Działając z upoważnienia T-Mobile Polska S.A. z siedzibą ul. Marynarska 12, 02-674 Warszawa, **informuję o zmianie danych w zakresie wielkości i rodzaju emisji** dla instalacji radiokomunikacyjnej **34713 (44713N!) GOL_BARCZEWO_BARTOLTY** zlokalizowanej w miejscowości BARTOŁTY WIELKIE DZ.6/2. W stosunku do informacji zawartej w zgłoszeniu realizowanym dla tej instalacji w trybie art. 152 ust. 1 i 5 ustawy z dnia 27 kwietnia 2001r – Prawo ochrony środowiska (Dz.U. 2024 poz. 54), dane ulegają zmianie w następujący sposób:

9. Wielkość i rodzaj emisji²⁾:

Pole elektromagnetyczne. EIRP poszczególnych anten zostało podane w pkt 12, tj.

Lp.	Równoważna moc promieniowana izotropowo (EIRP) [W]
1.	9386
2.	15864
3.	9386
4.	15864
5.	9386
6.	15864

Lp.	Równoważna moc promieniowana izotropowo (EIRP) [W]
7.	7431
8.	4582/8512
9.	3631/5371
10.	11777
11.	1446/5371
12.	5903

12. Szczegółowe dane, odpowiednio do rodzaju instalacji, zgodne z wymaganiami określonymi w załączniku nr 2 do Rozporządzenia:

Lp.	1)	2)	3)	4)	5)	
	Współrzędne geograficzne	Częstotliwość lub zakresy częstotliwości pracy instalacji [MHz]	Wysokość środka elektrycznego anteny [m n.p.t.]	Równoważna moc promieniowana izotropowo (EIRP) [W]	Azymut [°]	Kąt pochylenia lub zakresy kątów pochylenia [°]
1.	20°51'12.9" 53°48'13.4"	800/900	58.2	9386	60	0-10/0-10
2.	20°51'12.9" 53°48'13.5"	1800/2100	58.2	15864	60	0-10/0-10
3.	20°51'12.8" 53°48'13.4"	800/900	58.2	9386	180	0-10/0-10
4.	20°51'12.9" 53°48'13.4"	1800/2100	58.2	15864	180	0-10/0-10
5.	20°51'12.8" 53°48'13.4"	800/900	58.2	9386	280	0-10/0-10
6.	20°51'12.8" 53°48'13.4"	1800/2100	58.2	15864	280	0-10/0-10
7.	20°51'12.8" 53°48'13.5"	23000	51	7431	0*	nd.
8.	20°51'12.9" 53°48'13.4"	23000/80000	49.5	4582/8512	17*	nd.
9.	20°51'12.9" 53°48'13.4"	23000/80000	61.5	3631/5371	39*	nd.
10.	20°51'12.9" 53°48'13.5"	18000	51	11777	48*	nd.
11.	20°51'12.9" 53°48'13.4"	23000/80000	61.5	1446/5371	102*	nd.
12.	20°51'13" 53°48'13.4"	23000	51	5903	140*	nd.

*) tolerancja azymutu od -10° do + 10°.

Informuję, iż dokonane zmiany w zakresie wielkości i rodzaju emisji przedmiotowej instalacji nie powodują zmiany instalacji w sposób istotny zgodnie z art. 3 pkt 7 ustawy Poś.

W załączniku przesyłam:

1. Pełnomocnictwo
2. Kopia potwierdzenia wniesienia opłaty skarbowej.
3. Sprawozdanie z pomiarów pól elektromagnetycznych wykonanych dla celów ochrony środowiska.

Otrzymują:

1. a/a
2. adresat



Signed by /
Podpisano przez:

Date / Data: 2026-
05-21 13:32



NetWorks Sp. z o.o.
Laboratorium Badań Środowiskowych
ul. Józefa Piusa Dziekońskiego 3
00-728 Warszawa
e-mail: Laboratorium@networks.pl



AB 419

S P R A W O Z D A N I E 3832/2026/OS
Z POMIARÓW PÓL ELEKTROMAGNETYCZNYCH
WYKONANYCH DLA POTRZEB OCHRONY ŚRODOWISKA

Badany obiekt: Instalacja radiokomunikacyjna T-Mobile Polska S.A.

Numer i nazwa: 34713 (44713N!) GOL_BARCZEWO_BARTOLTY

Adres: BARTOŁTY WIELKIE DZ.6/2, Powiat olsztyński, WOJ. WARMIŃSKO-MAZURSKIE

Data wykonania pomiarów: 2026-05-13

Sprawozdanie z badań bez pisemnej zgody laboratorium nie może być powielane inaczej niż w całości.

Wyniki przedstawione w niniejszym sprawozdaniu odnoszą się wyłącznie do badanego obiektu i do warunków i konfiguracji urządzeń w dniu wykonywania pomiarów.

1. Właściciel badanego obiektu:

T-Mobile Polska S.A., ul. Marynarska 12, 02-674 Warszawa

2. Zleceniodawca:

T-Mobile Polska S.A., ul. Marynarska 12, 02-674 Warszawa

3. Przedstawiciel zleceniodawcy:

NetWorks Sp. z o.o.

4. Zakres zlecenia:

Wykonanie badania i opracowanie sprawozdania z pomiarów natężenia pola elektrycznego i pola magnetycznego dla instalacji radiokomunikacyjnej T-Mobile Polska S.A. zlokalizowanej w miejscowości BARTOŁTY WIELKIE DZ.6/2.

5. Cel zlecenia:

Wykonanie pomiarów pól elektromagnetycznych w otoczeniu instalacji radiokomunikacyjnej 34713 (44713N!) GOL_BARCZEWO_BARTOLTY w odniesieniu do wymagań określonych w *Rozporządzeniu Ministra Klimatu z dnia 17 lutego 2020 r. w sprawie sposobów sprawdzania dotrzymania dopuszczalnych poziomów pól elektromagnetycznych w środowisku (Dz.U. 2022 poz. 2630)*.

6. Pomiary zostały wykonane przez:**7. Informacje o źródłach pól elektromagnetycznych****7.1. Sposób identyfikacji badanych źródeł pól elektromagnetycznych**

Identyfikacji źródeł i parametrów technicznych dokonano na podstawie analizy dokumentacji dotyczącej zlecenia oraz obserwacji miejsca wykonywania badań.

7.2. Opis miejsca zainstalowania anten i urządzeń technicznych. Opis obiektu badań i jego otoczenia

Instalacja radiokomunikacyjna zlokalizowana jest na terenie ogrodzonym. Anteny zawieszono na wieży kratowej. Urządzenia sterujące oraz zasilające zainstalowano w kontenerze u podstawy wieży. Wokół instalacji znajdują się tereny rolnicze.

Instalacja radiokomunikacyjna jest obiektem bezobsługowym. Okresowe stanowiska pracy związane są z prowadzonymi w zależności od potrzeb konserwacjami, przeglądami, strojeniem i naprawami.

7.3. Parametry techniczne źródła pola elektromagnetycznego

Dane przedstawiające maksymalne parametry pracy instalacji przekazane przez zleceniodawcę:

Parametry systemu nadawczo-odbiorczego:

Charakterystyka promieniowania		Kierunkowa					
Rzeczywisty czas pracy [h/dobę]		24					
Warunki pracy		Znamionowe					
Rodzaj wytwarzanego pola		Stacjonarne					
Lp.	Częstotliwość lub zakresy częstotliwości pracy [MHz]	Typ/producent anteny	liczba anten	Azymut [°]	kąt pochylenia [°]	Wysokość środka elektrycznego anteny [m n.p.t.]	Równoważna moc promieniowana izotropowo (EIRP) [W]
1	800/900	ADU451723 Huawei	1	60	0-10**/0-10**	58.2	9386
2	1800/2100	ADU4518R6v01 Huawei	1	60	0-10**/0-10**	58.2	15864
3	800/900	ADU451723 Huawei	1	180	0-10**/0-10**	58.2	9386
4	1800/2100	ADU4518R6v01 Huawei	1	180	0-10**/0-10**	58.2	15864
5	800/900	ADU451723 Huawei	1	280	0-10**/0-10**	58.2	9386
6	1800/2100	ADU4518R6v01 Huawei	1	280	0-10**/0-10**	58.2	15864

* wskazane wartości kąta pochylenia anten, zgodnie z informacją uzyskaną od zleceniodawcy, są wartościami stałymi

** pomiary wykonano zgodnie z pkt 13., ppkt 2 załącznika do Rozporządzenia Ministra Klimatu z dnia 17 lutego 2020 r. (Dz. U. 2022, poz. 2630).

Parametry radiolinii:

Charakterystyka promieniowania		kierunkowa					
Rzeczywisty czas pracy [h/dobę]		24					
Warunki pracy		znamionowe					
Rodzaj wytwarzanego pola		stacjonarne					
Lp.	Linia radiowa			Antena			
	Typ/ Producent	Częstotliwość pracy [GHz]	Równoważna moc promieniowana izotropowo (EIRP) [W]	Typ/ producent	Średnica anteny [m]	Azymut [°]	Wysokość zainstalowania n.p.t [m]
1.	NP ERICSSON ML 6365 23GHz 2x28MHz XPIC Ericsson	23	7431	ANT3_0.6 23 HP/HPX Ericsson	0.6	0	51
2.	NP ERICSSON ML 6365 23GHz 2x28MHz XPIC/NP ERICSSON ML 6352/3 70/80GHz 250MHz Ericsson	23/80	4582/8512	ANT2/2_0.6 23/80 HPX/HP Ericsson	0.6	17	49.5
3.	NP ERICSSON RAU2X HP 23GHz 28MHz/NP ERICSSON ML 6352 R2+ 70/80GHz 250MHz Ericsson	23/80	3631/5371	ANT2/2_0.6 23/80 HP/HP Ericsson	0.6	39	61.5
4.	NP ERICSSON ML 6363 18GHz 2x28MHz XPIC Ericsson	18	11777	ANT3_1.2 18 HP/HPX Ericsson	1.2	48	51
5.	NP ERICSSON ML 6363 23GHz 28MHz/NP ERICSSON ML 6352 R2+ 70/80GHz 250MHz Ericsson	23/80	1446/5371	ANT2/2_0.6 23/80 HP/HP Ericsson	0.6	102	61.5

Sprawozdanie z badań bez pisemnej zgody laboratorium nie może być powielane inaczej niż w całości.

Wyniki przedstawione w niniejszym sprawozdaniu odnoszą się wyłącznie do badanego obiektu i do warunków i konfiguracji urządzeń w dniu wykonywania pomiarów.

Charakterystyka promieniowania				kierunkowa			
Rzeczywisty czas pracy [h/dobę]				24			
Warunki pracy				znamionowe			
Rodzaj wytwarzanego pola				stacjonarne			
Lp.	Linia radiowa			Antena			
	Typ/ Producent	Częstotliwość pracy [GHz]	Równoważna moc promieniowana izotropowo (EIRP) [W]	Typ/ producent	Średnica anteny [m]	Azymut [°]	Wysokość zainstalowania n.p.t [m]
6.	NP ERICSSON RAU2X 23GHZ 2x56MHz XPIC Ericsson	23	5903	ANT2_1.2 23 HP/HPX Ericsson	1.2	140	51

7.4 Inne źródła pól elektromagnetycznych

Na podstawie informacji otrzymanych od użytkownika oraz obserwacji otoczenia miejsca wykonywania pomiarów nie stwierdzono występowania innych źródeł pola-EM.

8. Opis pomiarów

8.1. Metoda badań

Zgodna z rozporządzeniem Ministra Klimatu z dnia 17 lutego 2020 r. w sprawie sposobów sprawdzania dotrzymania dopuszczalnych poziomów pól elektromagnetycznych w środowisku (Dz.U. 2022 poz. 2630), określona w pkt 25 ppkt 1 załącznika do niniejszego rozporządzenia.

8.2. Termin pomiarów i warunki środowiskowe

Podczas wykonywania pomiarów pól elektromagnetycznych nie występowały opady atmosferyczne. Wyniki pomiaru parametrów pogodowych przedstawia poniższa tabela:

Data [rrrr-mm-dd]	Godzina [hh:mm-hh:mm]	Warunki środowiskowe			
		Temperatura [°C]		Wilgotność względna [%]	
2026-05-13	13:30-14:40	Przed pomiarem	Po pomiarach	Przed pomiarem	Po pomiarach
		11.1	11.4	67.4	66.7

Przedstawione wyżej warunki środowiskowe, występujące podczas wykonywania pomiarów pól elektromagnetycznych, są zgodne ze specyfikacją techniczną użytego zestawu pomiarowego.

8.3. Warunki pracy urządzeń nadawczych

Podczas pomiarów w przypadku uzyskania wyniku pomiaru szerokopasmowego wykonanego zastosowaną metodą, dla zakresów częstotliwości od 10 MHz do 300 GHz, powiększonego o rozszerzoną niepewność pomiaru U dla współczynnika rozszerzenia $k = 2$ przekraczającego 70% najniższej dopuszczalnej wartości składowej elektrycznej lub magnetycznej pola dla objętych pomiarami zakresów częstotliwości, uwzględnia się poprawki pomiarowe przekazane przez zleceniodawcę, umożliwiające uwzględnienie maksymalnych parametrów pracy instalacji zgodnie z pkt 7 załącznika do Rozporządzeniem Ministra Klimatu z dnia 17 lutego 2020 r. w sprawie sposobów sprawdzania dotrzymania dopuszczalnych poziomów pól elektromagnetycznych w środowisku (Dz. U. 2022, poz. 2630) zaznaczając, że wymagane jest wykonanie pomiaru z wykorzystaniem miernika selektywnego. W przypadku uzyskania wyniku pomiaru szerokopasmowego wykonanego zastosowaną metodą, dla zakresów częstotliwości od 10 MHz do 300 GHz, powiększonego o rozszerzoną niepewność pomiaru U dla współczynnika rozszerzenia $k = 2$ nieprzekraczającego 70% najniższej dopuszczalnej wartości składowej elektrycznej lub magnetycznej pola dla objętych pomiarami zakresów częstotliwości, nie uwzględnia się poprawek pomiarowych.

Sprawozdanie z badań bez pisemnej zgody laboratorium nie może być powielane inaczej niż w całości.

Wyniki przedstawione w niniejszym sprawozdaniu odnoszą się wyłącznie do badanego obiektu i do warunków i konfiguracji urządzeń w dniu wykonywania pomiarów.

8.4. Wyposażenie pomiarowe

Zestaw pomiarowy służący do pomiaru natężenia składowej elektrycznej pola elektromagnetycznego złożony z szerokopasmowego miernika i sondy pomiarowej:

Oznaczenie miernika	Producent	Model	Numer fabryczny	Oznaczenie sondy	Producent	Model	Numer fabryczny
MW-08	Wavecontrol	Miernik pól elektromagnetycznych SMP2	22SN2090	SW-15	Wavecontrol	Sonda WPF60	22WP230221

Mierniki natężenia pola elektromagnetycznego podlegają okresowemu sprawdzeniu zgodnie z procedurą wewnętrzną P-03 i PB-01. Świadectwo wzorcowania zestawu pomiarowego z dnia 8 listopada 2024 o numerze LWiMP/W/395/24 wydane przez Politechnika Wrocławską. Data następnego wzorcowania: 8 listopada 2026 (zgodnie z procedurą wewnętrzną P-03).

Oznaczenie miernika	Producent	Model	Numer fabryczny	Oznaczenie sondy	Producent	Model	Numer fabryczny
MW-08	Wavecontrol	Miernik pól elektromagnetycznych SMP2	22SN2090	SW-16	Wavecontrol	Sonda WPF3-HP	22WP030450

Mierniki natężenia pola elektromagnetycznego podlegają okresowemu sprawdzeniu zgodnie z procedurą wewnętrzną P-03 i PB-01. Świadectwo wzorcowania zestawu pomiarowego z dnia 8 listopada 2024 o numerze LWiMP/W/395/24 wydane przez Politechnika Wrocławską. Data następnego wzorcowania: 8 listopada 2026 (zgodnie z procedurą wewnętrzną P-03).

Termohigrometr:

Oznaczenie:	TH-24	Producent:	AZ INSTRUMENT CORP	Model:	Termohigrometr AZ8706
-------------	-------	------------	--------------------	--------	-----------------------

Data następnego wzorcowania: 3 sierpnia 2027 (zgodnie z procedurą wewnętrzną P-03).

Dalmierz:

Oznaczenie	Producent	Typ	Numer seryjny	Nr świadectwa wzorcowania	Data świadectwa wzorcowania
D-09	Leica	Dalmierz Leica Disto D510	1042956700	Z3- Z32.4180.182.2024.4196.3	8 stycznia 2025

Data następnego wzorcowania: 8 stycznia 2035 (zgodnie z procedurą wewnętrzną P-03).

Odbiornik GNSS:

Odbiornik GNSS wbudowany w miernik natężenia pola elektromagnetycznego użyty podczas pomiarów	Producent	Model
	UBlox	MAX-M8Q

Odbiorniki podlegają okresowemu sprawdzeniu zgodnie z procedurą wewnętrzną P-03.

9. Wyniki pomiarów

W obszarze pomiarowym, w którym na podstawie uprzednio przeprowadzonych obliczeń (OOP* 1205/2026/RP), stwierdzono występowanie w danych zakresach częstotliwości pól elektromagnetycznych o poziomach zbliżonych do poziomów dopuszczalnych, określonych w przepisach wydanych na podstawie art. 122 ust. 1 ustawy z dnia 27 kwietnia 2001 r. – Prawo ochrony środowiska nie stwierdzono występowania zabudowy mieszkalnej.

*OOP - Obligatoryjny Obszar Pomiarowy - opracowanie przedstawia przewidywane rozkłady pól elektromagnetycznych w otoczeniu instalacji radiokomunikacyjnej.

Pole elektryczne

Nr pionu	Opis umiejscowienia pionu (punktu) pomiarowego	Wysokość pomiaru [m]	Zmierzona wartość natężenia pola elektrycznego E [V/m] ^{1,5}			Wartość natężenia pola elektrycznego powiększona o niepewność pomiaru ⁴ E [V/m]	Wskaźnikowa wartość poziomu emisji pól elektromagnetycznych WME ³	Współrzędne geograficzne pionu (punktu) pomiarowego ²
			Sonda SW-15	Sonda SW-16	Wartość			
1	GKP w odległości poziomej 25m od anteny radioliniowej az. 0°	0.3-2.0	<1.0*	<1.0*	<1.0*	1.4	0.05	53°48'14.4" 20°51'13.0"
2	GKP w odległości poziomej 81m od anteny radioliniowej az. 0°	0.3-2.0	<1.0*	<1.0*	<1.0*	1.4	0.05	53°48'16.2" 20°51'13.0"
3	GKP w odległości poziomej 26m od anteny radioliniowej az. 17°	0.3-2.0	<1.0*	<1.0*	<1.0*	1.4	0.05	53°48'14.0" 20°51'13.3"
4	GKP w odległości poziomej 72m od anteny radioliniowej az. 17°	0.3-2.0	<1.0*	<1.0*	<1.0*	1.4	0.05	53°48'15.5" 20°51'14.0"
5	GKP w odległości poziomej 36m od anteny radioliniowej az. 39°	0.3-2.0	<1.0*	<1.0*	<1.0*	1.4	0.05	53°48'14.4" 20°51'14.0"
6	GKP w odległości poziomej 74m od anteny radioliniowej az. 39°	0.3-2.0	<1.0*	<1.0*	<1.0*	1.4	0.05	53°48'15.1" 20°51'15.5"
7	GKP w odległości poziomej 23m od anteny radioliniowej az. 48°	0.3-2.0	<1.0*	<1.0*	<1.0*	1.4	0.05	53°48'14.0" 20°51'13.7"
8	GKP w odległości poziomej 73m od anteny radioliniowej az. 48°	0.3-2.0	<1.0*	<1.0*	<1.0*	1.4	0.05	53°48'15.1" 20°51'15.8"
9	GKP w odległości poziomej 13m od anteny sektorowej az. 60°	0.3-2.0	<1.0*	<1.0*	<1.0*	1.4	0.05	53°48'13.7" 20°51'13.7"
10	GKP w odległości poziomej 36m od anteny sektorowej az. 60°	2.0	1.1	1.1	1.1	1.5	0.05	53°48'14.0" 20°51'14.8"
11	GKP w odległości poziomej 65m od anteny sektorowej az. 60°	2.0	1.2	1.2	1.2	1.6	0.06	53°48'14.4" 20°51'15.8"
12	GKP w odległości poziomej 97m od anteny sektorowej az. 60°	2.0	1.2	1.2	1.2	1.6	0.06	53°48'15.1" 20°51'17.6"
13	PKP na az. 79° w odległości poziomej 76m od anteny sektorowej az. 60°	0.3-2.0	<1.0*	<1.0*	<1.0*	1.4	0.05	53°48'14.0" 20°51'16.9"
14	GKP w odległości poziomej 30m od anteny radioliniowej az. 102°	0.3-2.0	<1.0*	<1.0*	<1.0*	1.4	0.05	53°48'13.3" 20°51'14.4"
15	GKP w odległości poziomej 72m od anteny radioliniowej az. 102°	0.3-2.0	<1.0*	<1.0*	<1.0*	1.4	0.05	53°48'13.0" 20°51'16.6"
16	GKP w odległości poziomej 36m od anteny radioliniowej az. 140°	0.3-2.0	<1.0*	<1.0*	<1.0*	1.4	0.05	53°48'12.6" 20°51'14.4"

Sprawozdanie z badań bez pisemnej zgody laboratorium nie może być powielane inaczej niż w całości.

Wyniki przedstawione w niniejszym sprawozdaniu odnoszą się wyłącznie do badanego obiektu i do warunków i konfiguracji urządzeń w dniu wykonywania pomiarów.

17	GKP w odległości poziomej 77m od anteny radioliniowej az. 140°	0.3-2.0	<1.0*	<1.0*	<1.0*	1.4	0.05	53°48'11.5" 20°51'15.8"
18	PKP na az. 155° w odległości poziomej 71m od anteny sektorowej az. 180°	0.3-2.0	<1.0*	<1.0*	<1.0*	1.4	0.05	53°48'11.2" 20°51'14.4"
19	GKP w odległości poziomej 13m od anteny sektorowej az. 180°	0.3-2.0	<1.0*	<1.0*	<1.0*	1.4	0.05	53°48'13.0" 20°51'13.0"
20	GKP w odległości poziomej 31m od anteny sektorowej az. 180°	0.3-2.0	<1.0*	<1.0*	<1.0*	1.4	0.05	53°48'12.2" 20°51'13.0"
21	GKP w odległości poziomej 61m od anteny sektorowej az. 180°	2.0	1.2	1.2	1.2	1.6	0.06	53°48'11.5" 20°51'13.0"
22	GKP w odległości poziomej 93m od anteny sektorowej az. 180°	2.0	1.2	1.2	1.2	1.6	0.06	53°48'10.4" 20°51'13.0"
23	PKP na az. 248° w odległości poziomej 59m od anteny sektorowej az. 280°	0.3-2.0	<1.0*	<1.0*	<1.0*	1.4	0.05	53°48'12.6" 20°51'9.7"
24	GKP w odległości poziomej 24m od anteny sektorowej az. 280°	0.3-2.0	<1.0*	<1.0*	<1.0*	1.4	0.05	53°48'13.7" 20°51'11.5"
25	GKP w odległości poziomej 62m od anteny sektorowej az. 280°	2.0	1.2	1.2	1.2	1.6	0.06	53°48'13.7" 20°51'9.4"
26	DPP w wejściu do budynku gospodarczego	2.0	1.2	1.2	1.2	1.6	0.06	53°48'14.0" 20°51'9.4"
27	GKP w odległości poziomej 94m od anteny sektorowej az. 280°	2.0	1.1	1.1	1.1	1.5	0.05	53°48'14.0" 20°51'7.9"
28	PKP na az. 326° w odległości poziomej 76m od anteny sektorowej az. 280°	0.3-2.0	<1.0*	<1.0*	<1.0*	1.4	0.05	53°48'15.5" 20°51'10.4"
-	GKP w odległości poziomej 364m od anteny sektorowej az. 60°	0.3-2.0	<1.0*	<1.0*	<1.0*	1.4	0.05	53°48'19.4" 20°51'30.2"
-	GKP w odległości poziomej 364m od anteny sektorowej az. 180°	0.3-2.0	<1.0*	<1.0*	<1.0*	1.4	0.05	53°48'1.4" 20°51'13.0"
-	GKP w odległości poziomej 363m od anteny sektorowej az. 280°	0.3-2.0	<1.0*	<1.0*	<1.0*	1.4	0.05	53°48'15.5" 20°50'53.2"

Sprawozdanie z badań bez pisemnej zgody laboratorium nie może być powielane inaczej niż w całości.

Wyniki przedstawione w niniejszym sprawozdaniu odnoszą się wyłącznie do badanego obiektu i do warunków i konfiguracji urządzeń w dniu wykonywania pomiarów.

Pole magnetyczne (wyznaczone na podstawie pomiaru wartości natężenia pola elektrycznego)

Nr pionu	Opis umiejscowienia pionu (punktu) pomiarowego	Wysokość pomiaru [m]	Wartość natężenia pola magnetycznego H [A/m] ¹			Wartość natężenia pola magnetycznego powiększona o niepewność pomiaru ⁴ H [A/m]	Wskaźnikowa wartość poziomu emisji pól elektromagnetycznych WM _H ³	Współrzędne geograficzne pionu (punktu) pomiarowego ²
			Sonda SW-15	Sonda SW-16	Wartość			
1	GKP w odległości poziomej 25m od anteny radioliniowej az. 0°	0.3-2.0	<0.003*	<0.003*	<0.003*	0.004	0.05	53°48'14.4" 20°51'13.0"
2	GKP w odległości poziomej 81m od anteny radioliniowej az. 0°	0.3-2.0	<0.003*	<0.003*	<0.003*	0.004	0.05	53°48'16.2" 20°51'13.0"
3	GKP w odległości poziomej 26m od anteny radioliniowej az. 17°	0.3-2.0	<0.003*	<0.003*	<0.003*	0.004	0.05	53°48'14.0" 20°51'13.3"
4	GKP w odległości poziomej 72m od anteny radioliniowej az. 17°	0.3-2.0	<0.003*	<0.003*	<0.003*	0.004	0.05	53°48'15.5" 20°51'14.0"
5	GKP w odległości poziomej 36m od anteny radioliniowej az. 39°	0.3-2.0	<0.003*	<0.003*	<0.003*	0.004	0.05	53°48'14.4" 20°51'14.0"
6	GKP w odległości poziomej 74m od anteny radioliniowej az. 39°	0.3-2.0	<0.003*	<0.003*	<0.003*	0.004	0.05	53°48'15.1" 20°51'15.5"
7	GKP w odległości poziomej 23m od anteny radioliniowej az. 48°	0.3-2.0	<0.003*	<0.003*	<0.003*	0.004	0.05	53°48'14.0" 20°51'13.7"
8	GKP w odległości poziomej 73m od anteny radioliniowej az. 48°	0.3-2.0	<0.003*	<0.003*	<0.003*	0.004	0.05	53°48'15.1" 20°51'15.8"
9	GKP w odległości poziomej 13m od anteny sektorowej az. 60°	0.3-2.0	<0.003*	<0.003*	<0.003*	0.004	0.05	53°48'13.7" 20°51'13.7"
10	GKP w odległości poziomej 36m od anteny sektorowej az. 60°	2.0	0.003	0.003	0.003	0.004	0.05	53°48'14.0" 20°51'14.8"
11	GKP w odległości poziomej 65m od anteny sektorowej az. 60°	2.0	0.003	0.003	0.003	0.004	0.06	53°48'14.4" 20°51'15.8"
12	GKP w odległości poziomej 97m od anteny sektorowej az. 60°	2.0	0.003	0.003	0.003	0.004	0.06	53°48'15.1" 20°51'17.6"
13	PKP na az. 79° w odległości poziomej 76m od anteny sektorowej az. 60°	0.3-2.0	<0.003*	<0.003*	<0.003*	0.004	0.05	53°48'14.0" 20°51'16.9"
14	GKP w odległości poziomej 30m od anteny radioliniowej az. 102°	0.3-2.0	<0.003*	<0.003*	<0.003*	0.004	0.05	53°48'13.3" 20°51'14.4"
15	GKP w odległości poziomej 72m od anteny radioliniowej az. 102°	0.3-2.0	<0.003*	<0.003*	<0.003*	0.004	0.05	53°48'13.0" 20°51'16.6"
16	GKP w odległości poziomej 36m od anteny radioliniowej az. 140°	0.3-2.0	<0.003*	<0.003*	<0.003*	0.004	0.05	53°48'12.6" 20°51'14.4"

Sprawozdanie z badań bez pisemnej zgody laboratorium nie może być powielane inaczej niż w całości.

Wyniki przedstawione w niniejszym sprawozdaniu odnoszą się wyłącznie do badanego obiektu i do warunków i konfiguracji urządzeń w dniu wykonywania pomiarów.

17	GKP w odległości poziomej 77m od anteny radioliniowej az. 140°	0.3-2.0	<0.003*	<0.003*	<0.003*	0.004	0.05	53°48'11.5" 20°51'15.8"
18	PKP na az. 155° w odległości poziomej 71m od anteny sektorowej az. 180°	0.3-2.0	<0.003*	<0.003*	<0.003*	0.004	0.05	53°48'11.2" 20°51'14.4"
19	GKP w odległości poziomej 13m od anteny sektorowej az. 180°	0.3-2.0	<0.003*	<0.003*	<0.003*	0.004	0.05	53°48'13.0" 20°51'13.0"
20	GKP w odległości poziomej 31m od anteny sektorowej az. 180°	0.3-2.0	<0.003*	<0.003*	<0.003*	0.004	0.05	53°48'12.2" 20°51'13.0"
21	GKP w odległości poziomej 61m od anteny sektorowej az. 180°	2.0	0.003	0.003	0.003	0.004	0.06	53°48'11.5" 20°51'13.0"
22	GKP w odległości poziomej 93m od anteny sektorowej az. 180°	2.0	0.003	0.003	0.003	0.004	0.06	53°48'10.4" 20°51'13.0"
23	PKP na az. 248° w odległości poziomej 59m od anteny sektorowej az. 280°	0.3-2.0	<0.003*	<0.003*	<0.003*	0.004	0.05	53°48'12.6" 20°51'9.7"
24	GKP w odległości poziomej 24m od anteny sektorowej az. 280°	0.3-2.0	<0.003*	<0.003*	<0.003*	0.004	0.05	53°48'13.7" 20°51'11.5"
25	GKP w odległości poziomej 62m od anteny sektorowej az. 280°	2.0	0.003	0.003	0.003	0.004	0.06	53°48'13.7" 20°51'9.4"
26	DPP w wejściu do budynku gospodarczego	2.0	0.003	0.003	0.003	0.004	0.06	53°48'14.0" 20°51'9.4"
27	GKP w odległości poziomej 94m od anteny sektorowej az. 280°	2.0	0.003	0.003	0.003	0.004	0.05	53°48'14.0" 20°51'7.9"
28	PKP na az. 326° w odległości poziomej 76m od anteny sektorowej az. 280°	0.3-2.0	<0.003*	<0.003*	<0.003*	0.004	0.05	53°48'15.5" 20°51'10.4"
-	GKP w odległości poziomej 364m od anteny sektorowej az. 60°	0.3-2.0	<0.003*	<0.003*	<0.003*	0.004	0.05	53°48'19.4" 20°51'30.2"
-	GKP w odległości poziomej 364m od anteny sektorowej az. 180°	0.3-2.0	<0.003*	<0.003*	<0.003*	0.004	0.05	53°48'1.4" 20°51'13.0"
-	GKP w odległości poziomej 363m od anteny sektorowej az. 280°	0.3-2.0	<0.003*	<0.003*	<0.003*	0.004	0.05	53°48'15.5" 20°50'53.2"

GKP – Główny Kierunek Pomiarowy

DPP – Dodatkowy Pion Pomiarowy

PKP – Pomocniczy Kierunek Pomiarowy

Sprawozdanie z badań bez pisemnej zgody laboratorium nie może być powielane inaczej niż w całości.

Wyniki przedstawione w niniejszym sprawozdaniu odnoszą się wyłącznie do badanego obiektu i do warunków i konfiguracji urządzeń w dniu wykonywania pomiarów.

¹ wyniki oznaczone * są wynikami poniżej czułości zestawu pomiarowego i są wynikami spoza zakresu akredytacji. Do obliczenia wyniku skorygowanego przyjęto wartość skorelowaną z rzeczywistym wynikiem pomiaru - dolną granicę akredytowanego zakresu pomiarowego metody

² współrzędne geograficzne pozyskane metodą pomiaru bezpośredniego

³ do wyznaczenia wartości wskaźnikowej W_{ME} i W_{MH} przyjęto na podstawie uzgodnień z klientem oraz rozpoznania źródeł, jako wartości dopuszczalne pola elektrycznego i magnetycznego odpowiednio 28 V/m i 0,073 A/m.

⁴ do wyznaczenia niepewności dla wyników poniżej czułości zestawu pomiarowego, przyjęto niepewność dla minimalnej wartości z zakresu pomiarowego.

⁵ maksymalna wartość chwilowa

Niepewność oszacowano zgodnie z dokumentem P-03 „Procedura nadzoru nad wyposażeniem” w postaci niepewności rozszerzonej wynikającej z niepewności standardowej pomnożonej przez współczynnik rozszerzenia $k=2$.

Całkowita szacowana niepewność rozszerzona składowej E wynosi odpowiednio:

sonda SW-15: 35.1% dla częstotliwości do 4 GHz, sonda SW-16: 29.9% dla częstotliwości do 4 GHz

Pomiar wykonany metodą 2 sond, opisaną w artykule Medycyna Pracy 2015;66(5):701-712 „Optymalizacja metodyki pomiaru wieloczęstotliwościowego pola elektromagnetycznego stacji bazowych telefonii komórkowej”.

Umieszczenie pionów (punktów) pomiarowych przedstawiono w załączniku nr 2 do niniejszego sprawozdania.

10. Omówienie wyników pomiarów

W związku z tym, że żadna z wartości zmierzonych, udokumentowanych w tabelach w pkt. 9, uzyskanych w skutek zastosowania pomiaru szerokopasmowego, powiększonego o rozszerzoną niepewność pomiaru U dla współczynnika rozszerzenia $k = 2$ nie przekroczyła 70% najniższej dopuszczalnej wartości składowej elektrycznej lub magnetycznej pola dla objętych pomiarami zakresów częstotliwości, nie uwzględnia się poprawek pomiarowych.

W wyniku zastosowania sposobu sprawdzenia dotrzymania dopuszczalnych poziomów pól elektromagnetycznych w środowisku, zgodnie pkt 25 ppkt 1 Rozporządzenia Ministra Klimatu z dnia 17 lutego 2020 r. (Dz. U. 2022, poz. 2630), w związku z tym, że żadna z wartości wskaźnikowych, udokumentowanych w tabelach w pkt. 9 nie przekracza wartości 1, stwierdza się, że w miejscach, w których wykonano pomiary w otoczeniu instalacji radiokomunikacyjnej 34713 (44713N!) GOL_BARCZEWO_BARTOLTY, dopuszczalne poziomy pól elektromagnetycznych w środowisku należy uznać za dotrzymane.

11. Podstawa prawna

- 1) Ustawa z dnia 27 kwietnia 2001 r. Prawo ochrony środowiska (T. j. Dz. U. z 2025 r., poz. 647 z późn. zm.)
- 2) Rozporządzenie Ministra Zdrowia z dnia 17 grudnia 2019 r. w sprawie dopuszczalnych poziomów pól elektromagnetycznych w środowisku (Dz. U. 2019, poz. 2448)
- 3) Rozporządzenie Ministra Klimatu z dnia 17 lutego 2020 r. w sprawie sposobów sprawdzania dotrzymania dopuszczalnych poziomów pól elektromagnetycznych w środowisku (Dz. U. 2022, poz. 2630),
- 4) Akredytacja nr AB 419 wydana przez Polskie Centrum Akredytacji (wydanie 24, z dnia 14 stycznia 2026r.)

12. Spis załączników

Załącznik 1. Lokalizacja obiektu badań

Załącznik 2. Usytuowanie pionów (punktów) pomiarowych

Załącznik 3. Dokumentacja fotograficzna obiektu badań

13. Data wydania i autoryzowania sprawozdania

Obliczenia i sprawozdanie wykonał :

Sprawozdanie autoryzował:

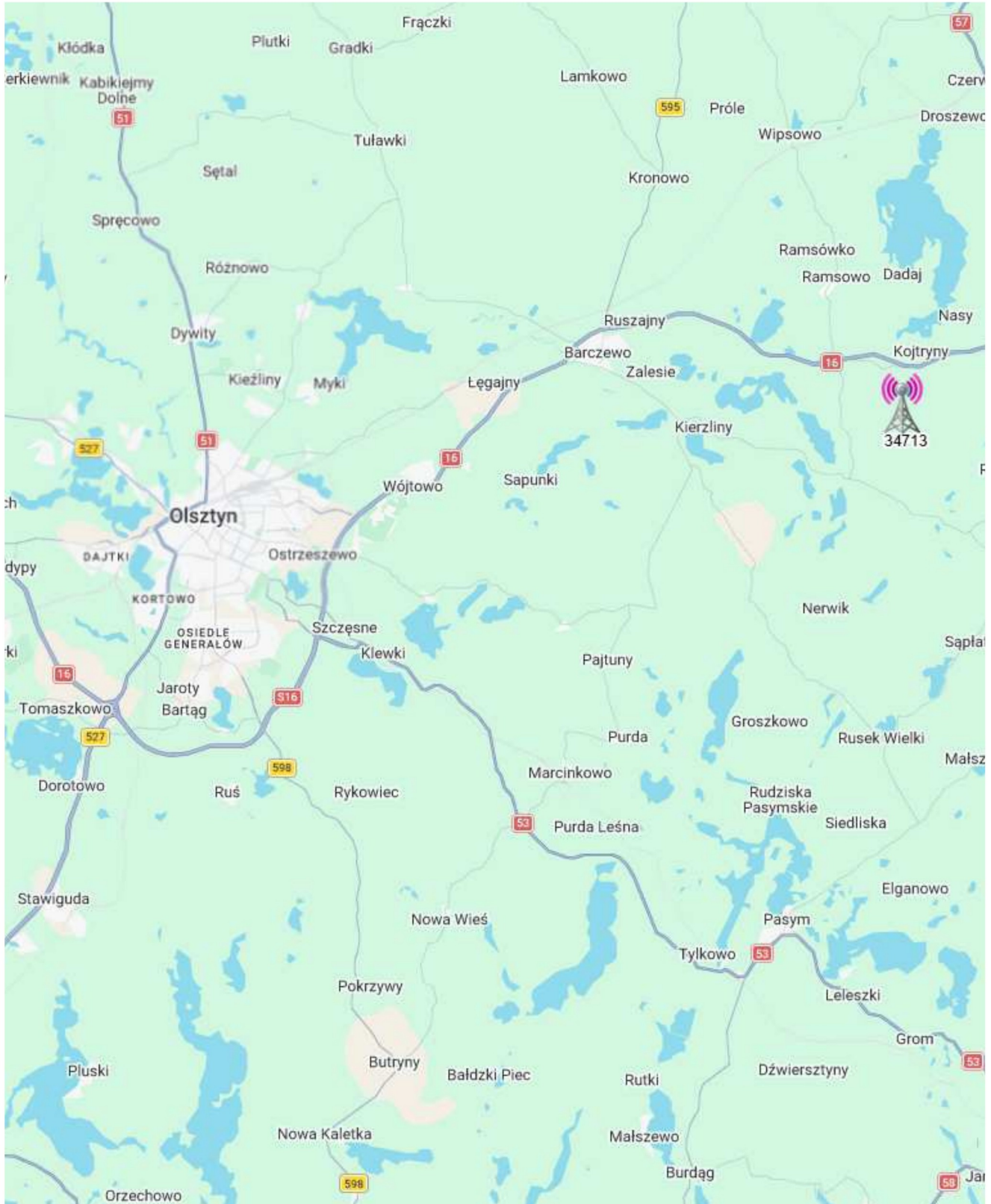
Elektronicznie podpisany
przez
Data: 2026.05.15
10:02:28 +02'00'

Elektronicznie podpisany
przez
Data: 2026.05.15 22:37:46
+02'00'

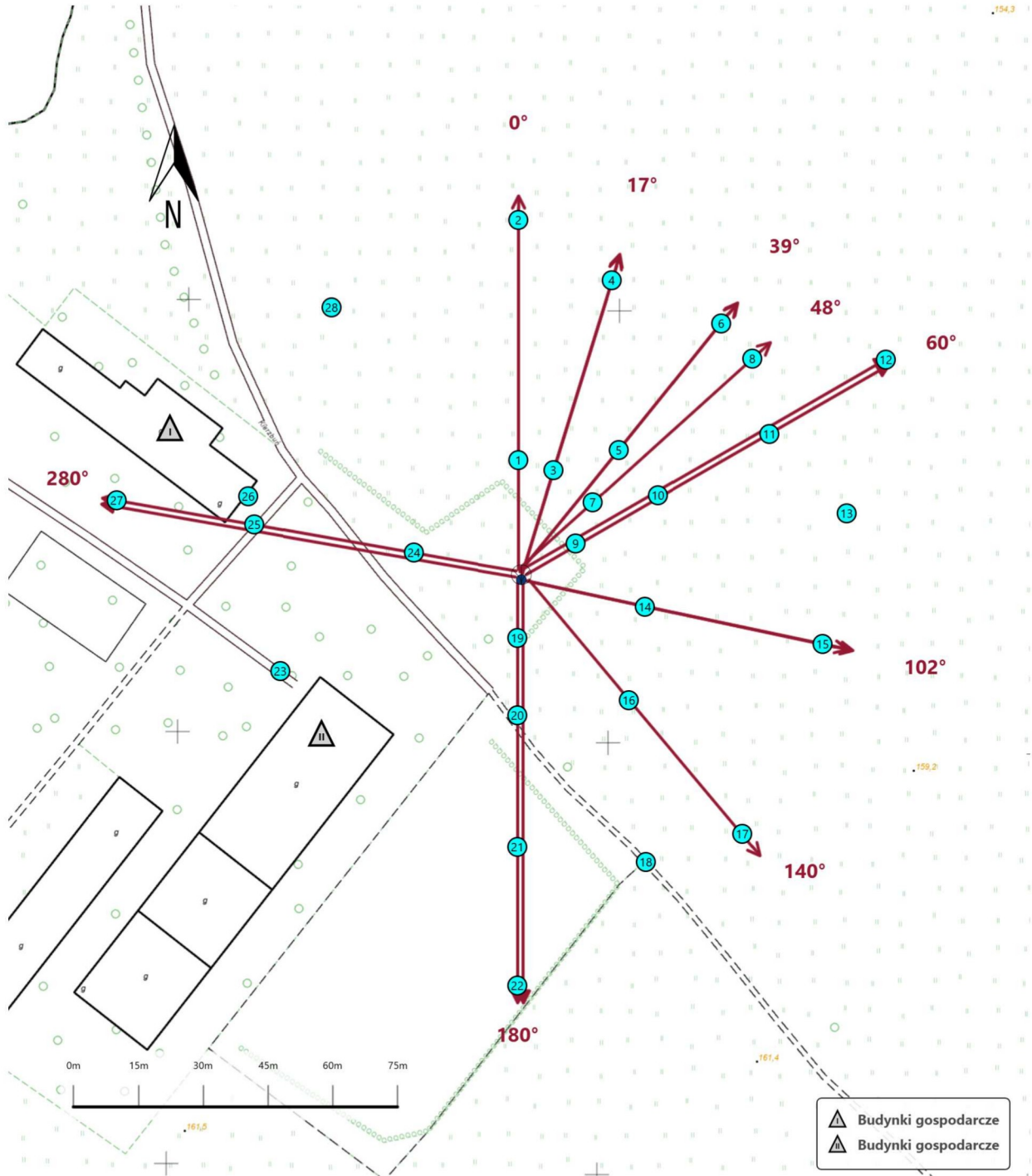
Koniec sprawozdania




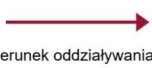
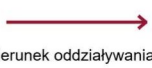



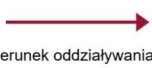
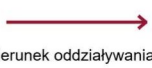



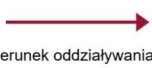
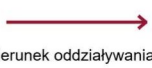
Sprawozdanie z badań bez pisemnej zgody laboratorium nie może być powielane inaczej niż w całości.

Wyniki przedstawione w niniejszym sprawozdaniu odnoszą się wyłącznie do badanego obiektu i do warunków i konfiguracji urządzeń w dniu wykonywania pomiarów.



Załącznik nr 1	Instalacja radiokomunikacyjna T-Mobile Polska S.A. 34713 (44713N!) GOL_BARCZEWO_BARTOLTY Lokalizacja instalacji
----------------	---



Załącznik nr 2	<p style="text-align: center;">Instalacja radiokomunikacyjna T-Mobile Polska S.A. GOL_BARCZEWO_BARTOLTY (44713N!) Usytuowanie pionów pomiarowych w otoczeniu instalacji radiokomunikacyjnej</p>					
	<p>Legenda:</p> <table style="width: 100%; border: none;"> <tr> <td style="text-align: center;"> Źródło pola elektromagnetycznego</td> <td style="text-align: center;"> Brak dostępu</td> <td style="text-align: center;"> Pion pomiarowy</td> <td style="text-align: center;"> Kierunek oddziaływania anten sektorowych</td> <td style="text-align: center;"> Kierunek oddziaływania anten radioliniowych</td> </tr> </table>	 Źródło pola elektromagnetycznego	 Brak dostępu	 Pion pomiarowy	 Kierunek oddziaływania anten sektorowych	 Kierunek oddziaływania anten radioliniowych
 Źródło pola elektromagnetycznego	 Brak dostępu	 Pion pomiarowy	 Kierunek oddziaływania anten sektorowych	 Kierunek oddziaływania anten radioliniowych		



Załącznik nr 3

Instalacja radiokomunikacyjna T-Mobile Polska S.A.
34713 (44713N!) GOL_BARCZEWO_BARTOLTY

Dokumentacja fotograficzna